

東京大学 阿井 正博  
 東京大学 西岡 隆  
 埼玉大学 奥村 敏寛

1. まえがき

ケーブル構造は変形に伴って生じる幾何剛性を積極的に利用した構造物であり、一般に変形が大変い。従って、変形解析は幾何学的非線形問題となるが、著者等は、既に前報<sup>(1)</sup>において、任意荷重条件下のケーブル構造一般に対する厳密な変形解析の方法を示した。一方、ケーブル構造では、その大変形性により、所定の外荷重作用時の釣合形状があらかじめ設定された形状に於けるよう構造系を定める、いわゆる形状決定問題が重要な問題となり、本報告は主としてこのことについて述べたものである。

2. 変形解析

ケーブル構造の部材力分布は、構造系中の有限個の適合力を未知として、

$$\text{部材力} : \{\Pi(\omega)\} = [S_P] \{\hat{\pi}\} + [S_{P^*}] \{\hat{P}^*\} + [S_{P^M}] \{\hat{P}^M\} - \left\{ \int_0^L q(\omega) ds + \sum_{\substack{M \\ q_i^M < 0}} R_M^{(i)} \right\} \quad \dots (1)$$

として表わせる。ここに、 $R^i$  ( $i=1 \dots n$ )、 $q^i(\omega)$ 、 $R_M^{(i)}$ 、 $R_M^{(i)}$  ( $i=1 \dots m$ ,  $j=1 \dots n$ ) は、浮動節点集中外力、分布外力、部材上の集中外力、及び部材上の点外力であり、 $\{\hat{\pi}\}$  が適合力である。従って、適合力を仮定すれば、部材力が決まり、これによりケーブル各部材の釣合形状が決まるが、 $\{\hat{\pi}\}$  は真値では無い。適合力を仮定した個々に、

$$\text{不適合量} : \{\hat{\alpha}\} = [S_x] \{\alpha_M\} + [S_x^*] \{\alpha^* + u\} \quad \dots (2)$$

が生じる。ここに、 $\alpha_M^i$  は部材の始端、終端間の相対変位であり、 $\alpha^* + u$  は、支持節点の空間座標、および反力によるその変位である。

結局、問題は(2)式の $\{\hat{\alpha}\}$ が $\{\hat{\alpha}\}$ と等しいような真の適合力を得ることであり、この繰返し計算によって修正値として用いる修正式は、

$$\{S \hat{\alpha}\} = ([S_x] [Q] [S_P] + [S_x^*] [Q^*] [S_P^*]) \{\hat{\pi}\} = [D_P] \{\hat{\pi}\} \quad \dots (3)$$

の形で得られる。ここに、

$$[Q] = \begin{bmatrix} \int_0^L R^1(\omega) dx & & 0 \\ & \ddots & \\ 0 & & \int_0^L R^m(\omega) dx \end{bmatrix}, \quad [Q^*] = \begin{bmatrix} \frac{\partial u^1}{\partial R^1} & \dots & \frac{\partial u^1}{\partial R^{n_s}} \\ \vdots & \ddots & \vdots \\ \frac{\partial u^{n_s}}{\partial R^1} & \dots & \frac{\partial u^{n_s}}{\partial R^{n_s}} \end{bmatrix}, \quad \dots (4)$$

$$R^i(\omega) = \left( \frac{1}{\alpha} + \frac{1}{|\Pi(\omega)|} \right) \mathbf{I} - \frac{\Pi(\omega) \Pi^T(\omega)}{|\Pi(\omega)|^3}$$

である ( $\alpha$ : 伸び剛性、 $R^i$ : 支持反力)。

真の適合力 $\{\hat{\pi}\}$ が得られれば、これを用いて釣合形状は、

$$\text{浮動節点座標} : \{\alpha_j\} = [S_{x_j}] \{\alpha_M\} + [S_{x_j}^*] \{\alpha^* + u\},$$

$$\text{部材上の任意点座標} : \{\alpha(\omega)\} = [S_{x_M}] \{\alpha_M\} + [S_{x_M}^*] \{\alpha^* + u\} + \left\{ \int_0^s \left( \frac{1}{\alpha} + \frac{1}{|\Pi} \right) dx \right\}$$

として表わせる。

### 3. 形状決定問題.

釣合状態にあるケーブル構造に於て、節材長、断面定数、支持節変位標等の増分量に於る釣合形状、節材断面力等の増分量を求む可線形化式が得られんば、之れを形状決定問題の修正式として用いることかできる。

節材長の増分  $\{\delta l\}$  と支持節変位標の増分  $\{\delta x^*\}$  とを考へ、之れに於る適合力の増分  $\{\delta \hat{f}\}$  とすれば、節材断面力、及び支持節変位標の増分は、

$$\{\delta \Pi(\omega)\} = [S_P] \{\delta \hat{f}\} + [S_{PM}] [D] \{\delta l\}, \quad \{\delta R\} = [S_P^*] \{\delta \hat{f}\} + [S_{PM}^*] [D] \{\delta l\} \quad \dots (5)$$

となる。=2=、 $[D]$  は  $\{\delta l\}$  に於る分布外力の増分に關するマトリックスであり、 $\delta l$  を考へた場中の分布外力を対角成分とする。=の  $\{\delta \Pi(\omega)\}$  に於る  $\{\delta \chi_H\}$  の増分は、(4)式を應用して得られ、之れは節材長の増分を考慮し、

$$\{\delta \chi_H\} = [Q] [S_P] \{\delta \hat{f}\} + ([Q] [S_{PM}] [D] + [G]) \{\delta l\} \quad \dots (6)$$

となる。=a時、 $[G]$  は  $\delta l$  を考へた場中の節材の方向余弦成分とする対角マトリックスとなる。固定節変位標の増分量も(6)式と同様に  $\{\delta \hat{f}\}$  と  $\{\delta l\}$  で表す可とができる。増分を考へた後にも適合条件は保たれねばならず、之れら=式を、(2)式の線形化式に付入し、 $\{\delta x^*\} = \{0\}$  とする=とに於て、適合力の増分量  $\{\delta \hat{f}\}$  が、

$$\{\delta \hat{f}\} = -[T_R]^{-1} ([T_P^M] [D] + [S_x] [G]) \{\delta l\} - [T_R]^{-1} [S_P^*] \{\delta x^*\} \quad \dots (7)$$

として得られる。

$\{\delta \hat{f}\}$  と(5)、(6)式に代入して、

$$\{\delta \Pi(\omega)\} = ([S_{PM}] [D] - [S_P] [T_R]^{-1} ([T_P^M] [D] + [S_x] [G])) \{\delta l\} - [S_P] [T_R]^{-1} [S_P^*] \{\delta x^*\} \quad \dots (8)$$

$$\{\delta R\} = ([S_{PM}^*] [D] - [S_P^*] [T_R]^{-1} ([T_P^M] [D] + [S_x] [G])) \{\delta l\} - [S_P^*] [T_R]^{-1} [S_P^*] \{\delta x^*\} \quad \dots (9)$$

$$\{\delta \chi_H\} = ([Q] [S_{PM}] [D] + [G] - [Q] [S_P] [T_R]^{-1} ([T_P^M] [D] + [S_x] [G])) \{\delta l\} - [Q] [S_P] [T_R]^{-1} [S_P^*] \{\delta x^*\} \quad \dots (10)$$

等が得られ、=れらを用いて、

$$\text{支持節変位標の増分量: } \{\delta x^*\} = ([T_P^M] [D] + [S_x] [G] - [T_R] [T_R]^{-1} ([T_P^M] [D] + [S_x] [G])) \{\delta l\} + ([S_P^*] - [T_R] [T_R]^{-1} [S_P^*]) \{\delta x^*\} \quad \dots (11)$$

が得られる。

以上、=れ(8)~(11)の線形化式より、形状決定問題に於ての変数として節材長、固定節変位標に對する列成分、初等値を考へた変数と同数の行成分をとり出し、修正式を求む可マトリックスを得る=とができる。

### 4. 数値計算例

Fig. 1に示すような4変支持双曲面ケーブル・ネットの形状決定、及び変形解析を行へ、=、ケーブルの断面定数は、外線ケーブル: 単位長重量  $q = 2 \text{ kg/m}$ , 伸縮剛性  $EA = 18112 \text{ ton}$ , 内線ケーブル:  $4.6 \text{ kg/m}$ ,  $EA = 9056 \text{ ton}$  である。形状決定の条件として、自重のみの作用時=とに於て、

(1) 内線ケーブルの面内引張力成分はすべて  $1 \text{ ton}$ 、

(2) 水平面内での形状が、圖に示すような状態に於る=とに於て、

47部材の部材長と求めた問題として初期部材長として、内側ケーブル長9.5m, 外側ケーブル長15.8mと与え、その時の釣合形状は、Fig. 1の破線に示すようである。

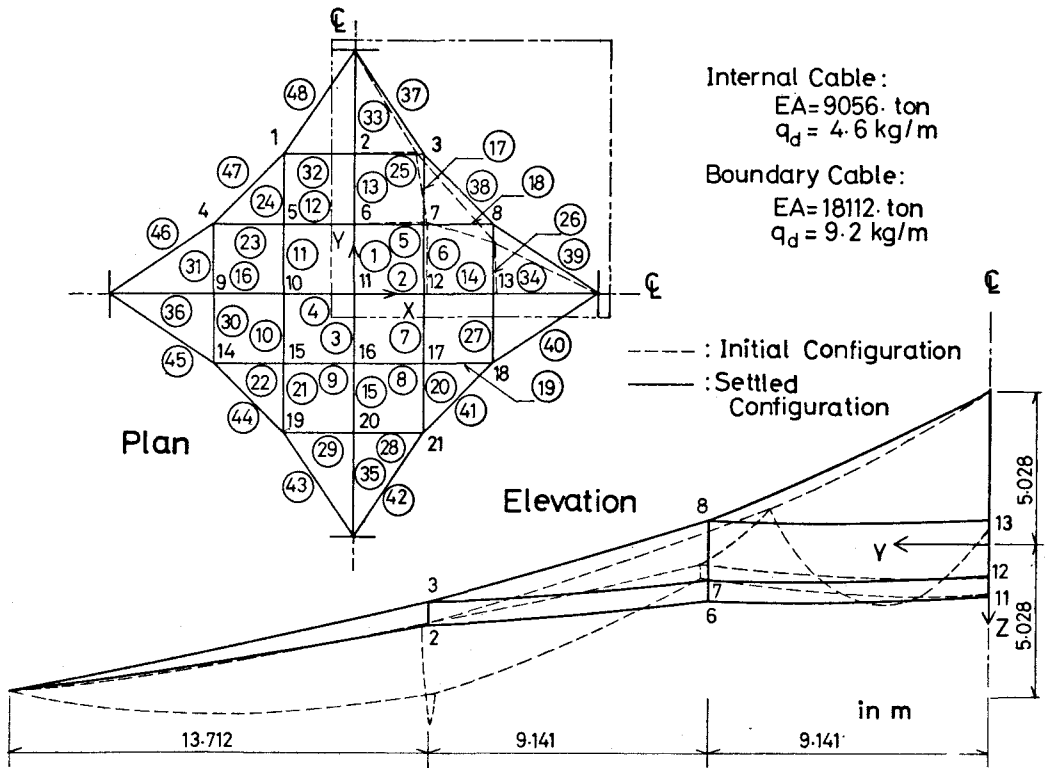


Fig.1 Settled Equilibrium Configuration

Table 1. Member Length

Member	Length(m)	Flow Joint	Z-Coordinate (m)
1,3	9.147	1,3,19,21	-2.024
2,4	9.165	2,20	-2.789
5,8,9,12	9.169	4,8,14,18	0.712
6,7,10,11	9.146	5,7,15,17	-1.270
13,15	9.182	6,16	-1.949
14,16	9.325	9,13	0.778
17,20,21,24	9.174	10,12	-1.051
18,19,22,23	9.355	11	-1.691
25,28,29,32	9.175	Boundary Member	Mean Member Force (ton)
26,27,30,31	9.145		
33,35	13.900	37,42,43,48	7.12
34,36	14.361	38,41,44,47	7.06
37,42,43,48	16.751	39,40,45,46	7.31
38,41,44,47	13.213		
39,40,45,46	17.034		

繰り返し計算の結果、得られた部材長、浮動節点のZ座標、及び外側ケーブルの部材力は、Table 1. のようである。この時の形状決定に関する繰り返し回数は12回であり、誤差は、

面内座標の平均誤差 = 0.9 mm  
面内部材力の平均誤差 = 0.025 ton

である。

[参考文献] 1) Siev, A. and Eiderman, Jr., "Shapes of Suspended Roofs," Proceedings, IASS, July, 1962. 2) Dean, H.L., and Ugarte, C.P., "Analysis of Structural Nets," Publications, IABSE, Vol. 23, 1963. 3) 阿井正博, 西岡隆, 興村敏夫, "ケーブルの力学的特性に関する考察," 第29回工学会年次学術講演概要集, 1974.